



# Wissenschaftliches Rechnen mit Hilfe der Programmiersprache Julia

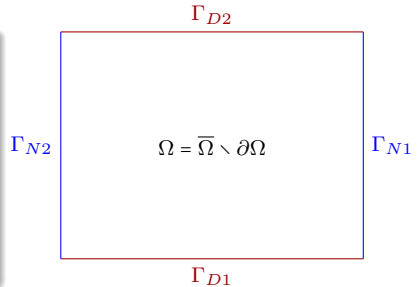
Damian Belz (DB)  
Albert Piwonski (AP)  
Rodrigo Rezende (RR)  
Stephanie Tchoumi (ST)

Wissenschaftliche Betreuer:  
Mirsad Hadžiefendić  
Marcus Christian Lehmann  
TU Berlin

13. Februar 2019

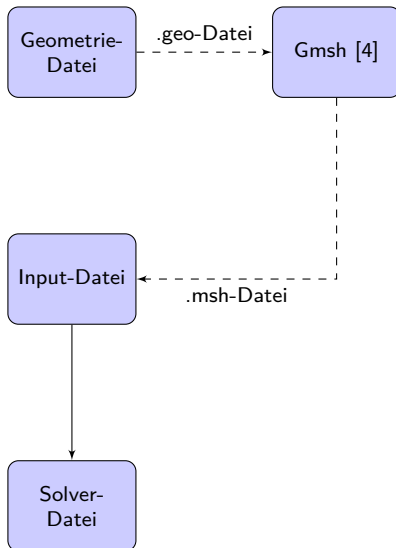
## LAPLACE-Gleichung mit DIRICHLET- & NEUMANN-Bedingungen

$$(RWP) \begin{cases} \Delta \phi = 0 & \text{in } \Omega \\ \partial \phi / \partial n = 0 & \text{auf } \Gamma_{N1} \cup \Gamma_{N2} \\ \phi = \phi_- & \text{auf } \Gamma_{D1} \\ \phi = \phi_+ & \text{auf } \Gamma_{D2} \end{cases}$$



## FEM-Programmaufbau

- *händisches* Erstellen der Geometrie-Datei
- *händisches* Einlesen in Gmsh
- *händisches* Erstellen des Rechengitters
- *händischer* Export des Rechengitters
- *händische* Identifikation von  $\partial\Omega$



l: [1], r: [4].

## ① Stand Zwischenvortrag

## ② Modifiziertes Problem & Programmaufbau

Problemstellung

Programmaufbau

Rechengitter

Randbedingungen

Netzstruktur

Systemerzeugung

Lösung und Konvergenzstudie

## ③ Besonderheiten der Implementierung

Typisierung

Paralleles Rechnen

## ④ Fazit & Ausblick

## ① Stand Zwischenvortrag

## ② Modifiziertes Problem & Programmaufbau

Problemstellung

Programmaufbau

Rechengitter

Randbedingungen

Netzstruktur

Systemerzeugung

Lösung und Konvergenzstudie

## ③ Besonderheiten der Implementierung

Typisierung

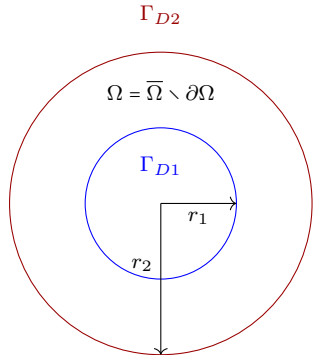
Paralleles Rechnen

## ④ Fazit & Ausblick

## LAPLACE-Gleichung mit DIRICHLET-Bedingungen

$$(RWP) \begin{cases} \Delta \phi = 0 & \text{in } \Omega \\ \phi = \phi_- & \text{auf } \Gamma_{D1} \\ \phi = \phi_+ & \text{auf } \Gamma_{D2} \end{cases}$$

- *well-posed* (HADAMARD) [6]:
  - Existenz
  - Eindeutigkeit
  - Stabilität
- modelliert idealen Zylinderkondensator



## ① Stand Zwischenvortrag

## ② Modifiziertes Problem & Programmaufbau

Problemstellung

Programmaufbau

Rechengitter

Randbedingungen

Netzstruktur

Systemerzeugung

Lösung und Konvergenzstudie

## ③ Besonderheiten der Implementierung

Typisierung

Paralleles Rechnen

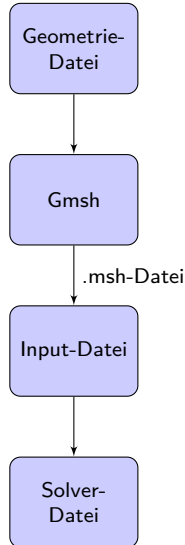
## ④ Fazit & Ausblick

## FEM-Programmaufbau: Erstellung des Rechengitters

- Erstellen des Rechengitters durch .jl-Datei → Gmsh API [2]
- Definition von **physical groups**
- automatisierte Identifikation von  $\partial\Omega = \Gamma_{D1} \cup \Gamma_{D2}$



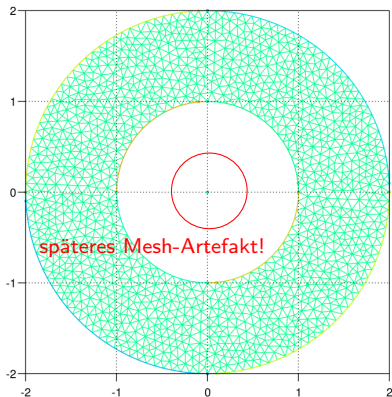
l: [1], r: [4].





## Erstellung des Rechengitters: *Eigene Implementierung*

- ❶ `calcPosition(posX, posY)`
  - berechnet Stützpunkt-Koordinaten
- ❷ `createGeometry(posX, posY)`
  - erstellt **Konstruktionspunkte**, Kreisbögen, Kurven, Flächen, ***physical groups***  
 $\rightarrow \partial\Omega = \Gamma_{D1} \cup \Gamma_{D2}$
- ❸ Erzeugung eines Rechengitters für Ansatzfunktionen 1. Ordnung



## ① Stand Zwischenvortrag

## ② Modifiziertes Problem & Programmaufbau

Problemstellung

**Programmaufbau**

Rechengitter

Randbedingungen

Netzstruktur

Systemerzeugung

Lösung und Konvergenzstudie

## ③ Besonderheiten der Implementierung

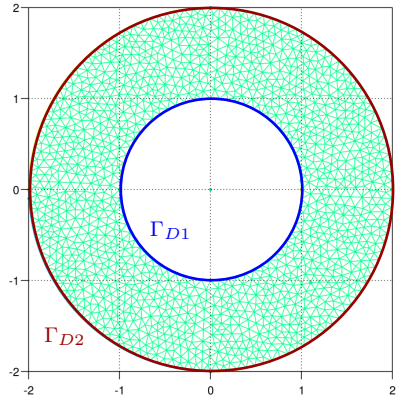
Typisierung

Paralleles Rechnen

## ④ Fazit & Ausblick

## Aufstellen der Randbedingungen

- diskrete Lösung :  $A \setminus b = \phi_d$
- für DIRICHLET RB wird  $\phi_d$  an den Randknoten definiert:
  - ①  $\phi_d[\text{inner\_B}] = u_{d1}[\text{inner\_B}]$
  - ②  $\phi_d[\text{outer\_B}] = u_{d2}[\text{outer\_B}]$



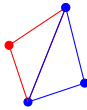
- ① `inner_B=.getNodesForPhysicalGroup(1,2)`
- ② `outer_B=.getNodesForPhysicalGroup(1,3)`



Koordinaten 2D

FLOAT	FLOAT
FLOAT	FLOAT
...	...

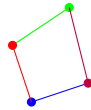
.getNodes()



Flächenelemente

INT	INT	...
INT	INT	...
...	...	

.getElements(2,1)



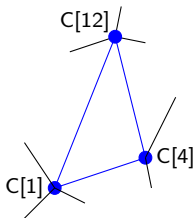
Randelemente

INT	INT
INT	INT
...	...

.getElements(1,1)

## Funktionsargumente

Über **dim** und **tag** kann die Rückgabe der Funktionen spezifiziert werden.



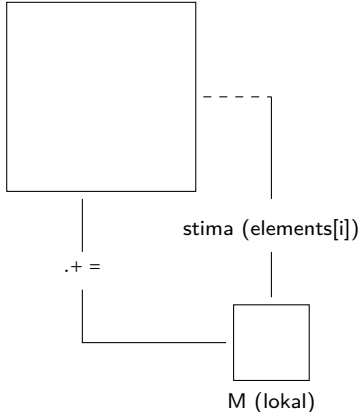
```
elements[1]::element = (I1, I4, I12)
```

```
M::Array{Float} = stima((I1, I4, I12))
```

## Funktion: `stima(element)`

- gibt `M::Array{Float}` für ein Element zurück
- abhängig von Ansatzfunktion und Knotenanzahl
- für jede Elementart muss eine Methode der `stima()` Funktion implementiert werden

A::SparseMatrixCSC

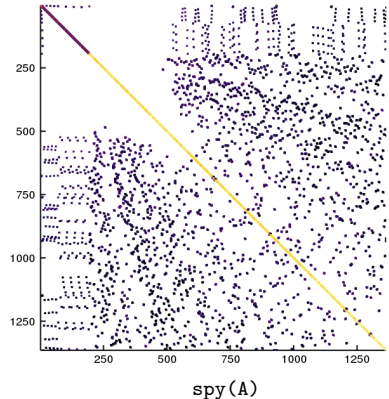


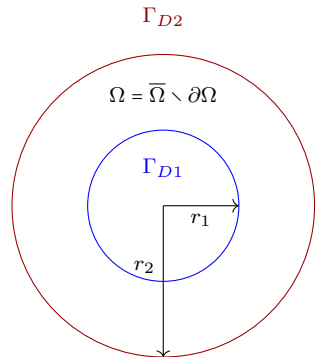
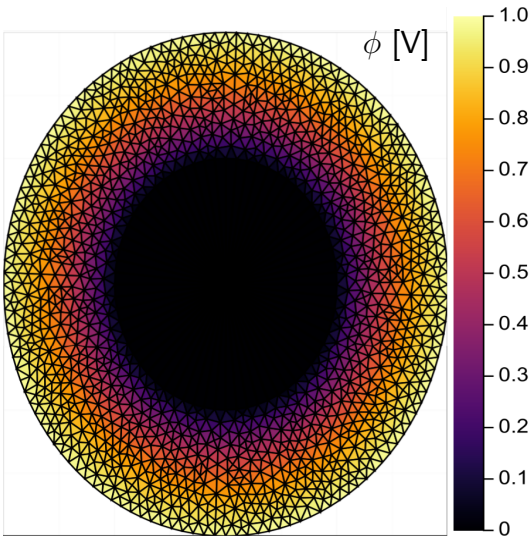
## Assambly-Schleife

- 1 Initialisieren von A.  
n:= Knotenanzahl
- 2 Lokale Steifigkeitsmatrix für jedes Flächenelement.
  - Methodenauswahl durch Typ des Elements := Elementart
- 3 Übertragen von M in  $A[\text{elements}[i], \text{elements}[i]]$

## Beobachtung

- DIRICHLET RB:  $b = b - A \cdot \phi_d$
- $A \setminus b = \phi_d \rightarrow$  **SingularException**:  
 $\det(A) = 0$  bei 0-Eintrag in der Hauptdiagonalen
- Nicht alle Knoten sind Teil des Netzes:  
 $A[\text{FreeNodes} \cap \text{Ele\_Indicies}]$

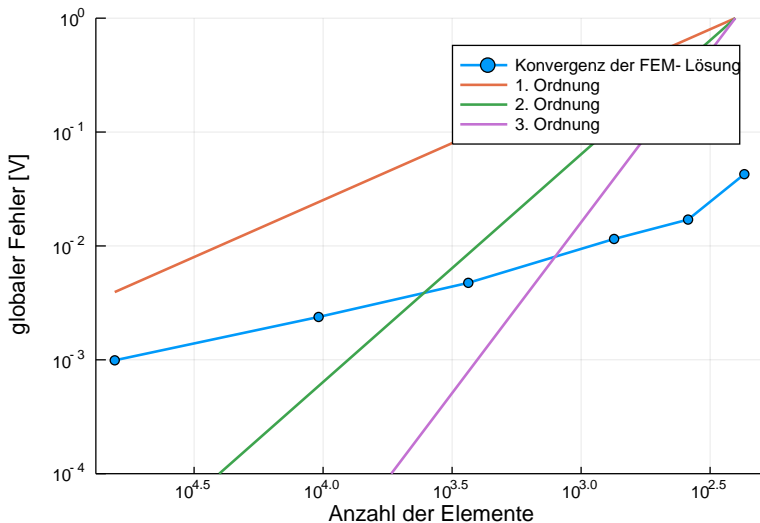




$$(RWP) \begin{cases} \Delta \phi = 0 & \text{in } \Omega \\ \phi = \phi_- & \text{auf } \Gamma_{D1} \\ \phi = \phi_+ & \text{auf } \Gamma_{D2} \end{cases}$$



- Global Nodal Error:  $\delta := \sqrt{\sum_{i=1}^N (\phi_{FEM}(x_i, y_i) - \phi(x_i, y_i))^2}$



- Global Nodal Error:  $\delta := \sqrt{\sum_{i=1}^N (\phi_{FEM}(x_i, y_i) - \phi(x_i, y_i))^2}$
- darin entspricht  $N$  der Anzahl der Elemente in dem jeweiligen Mesh
- ebenfalls möglich wäre die Betrachtung eines *effektiven Fehlers pro Element*:  $\delta_{eff} := \frac{1}{N} \sqrt{\sum_{i=1}^N (\phi_{FEM}(x_i, y_i) - \phi(x_i, y_i))^2}$

## ① Stand Zwischenvortrag

## ② Modifiziertes Problem & Programmaufbau

Problemstellung

Programmaufbau

Rechengitter

Randbedingungen

Netzstruktur

Systemerzeugung

Lösung und Konvergenzstudie

## ③ Besonderheiten der Implementierung

Typisierung

Paralleles Rechnen

## ④ Fazit & Ausblick

## ① Stand Zwischenvortrag

## ② Modifiziertes Problem & Programmaufbau

Problemstellung

Programmaufbau

Rechengitter

Randbedingungen

Netzstruktur

Systemerzeugung

Lösung und Konvergenzstudie

## ③ Besonderheiten der Implementierung

Typisierung

Paralleles Rechnen

## ④ Fazit & Ausblick

## Dynamische Typisierung

- Variablen sind nicht an Objekte eines bestimmten Typs gebunden
- die selbe Variable kann zu verschiedenen Zeitpunkten unterschiedliche, zueinander inkompatible Objekte referenzieren
- Typprüfungen während Laufzeit eines Programms
- Performance-Verlust durch Typprüfungen während Laufzeit
- Beispiel:  $a = 4$

## Statische Typisierung

- Typen werden während der Kompilierung geprüft
- Variablen werden zusammen mit ihrem Datentyp im Quellcode deklariert
- Typen der Variablen sind zur Übersetzungszeit bekannt und sind nicht veränderbar
- höhere Performance, da Typen schon zur Laufzeit bekannt sind
- Beispiel: `a = 4 :: Int64`



## Typisierung in Julia

- Vorteile von dynamisch und statisch getypten Sprachen
- parametrische Typdefinitionen möglich
- **struct** Definition möglich
- *bekannte* konkrete Typen, z.B.: Int64, Float64
- Methoden-Dispatch für abstrakte und konkrete Typen – Methoden werden über den Argumenttyp ausgewählt

```

44  #point2d = Array{Float64}
45  element = Tuple{Vararg{Int}} #Defined for various size of elements
46  # problem input mesh type
47  v struct mesh
48      coordinates::Array{Float64} # coordinates of domainpoints {Float64}
49      elements::Array{element} # elements: indices point to coordinates {Int64}
50      boundaries::Array{element} #boundary: indices point to coordinates {Int64}
51  end
52
53  # creating mesh from gmsh data
54  v msh = mesh( coordinates[:,1:2],
55               [tuple(elements[i,:])... for i in 1:size(elements,1) ],
56               [tuple(boundary[k,:])... for k in 1:size(boundary,1) ] )
57

```



## ① Stand Zwischenvortrag

## ② Modifiziertes Problem & Programmaufbau

Problemstellung

Programmaufbau

Rechengitter

Randbedingungen

Netzstruktur

Systemerzeugung

Lösung und Konvergenzstudie

## ③ Besonderheiten der Implementierung

Typisierung

Paralleles Rechnen

## ④ Fazit & Ausblick

- Wichtige Überlegungen für die Leistung:
  - ① Ist das Problem *parallelisierbar*?
    - AMDAHLsches Gesetz
  - ② *Datenbewegung*:
    - Die genutzte Zeit um die Daten zu einem Core zu bringen
  - ③ Die *Größe* des Problems
    - Bei größeren Probleme kann man größeren Zeitgewinn mit der Parallelisierung erreichen
- Um unseren Code parallelisieren zu können, haben wir die Zeit von verschiedenen Teilen des Programms gemessen (für Gitter mit 1365 Knotenpunkten):<sup>1 2</sup>
  - ① **Aufstellung der Steifigkeitsmatrix: 3.59 s**
  - ② Lösung des Gleichungssystems: 1.95 s
  - ③ Ploten des Ergebnisses: 4.99 s

Gesamte Simulationszeit: 25.92 s

<sup>1</sup>Hardware: Intel Core i7-4702MQ CPU @ 2.2 GHz, 16 GB RAM

<sup>2</sup>unter Verwendung des @time Makro's nach zweitem Funktionsaufruf

- Es sind in Julia 3 verschiedene Niveaus von Parallelismus vorhanden [5]:
  - ① **Julia Coroutines** (Green Threading)
  - ② Multi-Threading (Testphase)
  - ③ **Multi-Core** oder **Distributed Processing**
  - ④ **Konkurrenz\***

## Julia Coroutines

- Erlaubt die Abwechselung von Rechnungen
- Koordinierung von der Reihenfolge von Befehlen (*Tasks*)

## Multi-Cores

- Standard Bibliothek von Julia
- Multi processing Umgebung

- Wichtiger Befehl: **@distributed**
- Dieses Makro enthält Eigenschaften der *Coroutines*, der *Multi-Core* und *Konkurrenz*

```

1  a = zeros(1000000000);
2  @distributed for i = 1:1000000000
3      a[i] = i;
4  end
5  a
6

```

- Befehl um *parallele* for Schleifen zu programmieren
- Iteration werden nicht in einer bestimmten Reihenfolge durchgeführt
- Umschreibung von Variablen werden lokal im Core gesehen

- Anwendung in dem Code:
  - ① Parallele Eigenschaft
  - ② Großes Problem
  - ③ Möglichst einfache Berechnung
- Originaler Code

```

48  #A Assembly alternative
49  @time for i in 1:size(msh.elements,1)  #hier parallelisieren!
50      A[collect(msh.elements[i]),collect(msh.elements[i])] += stima(msh,msh.elements[i])
51  end

```

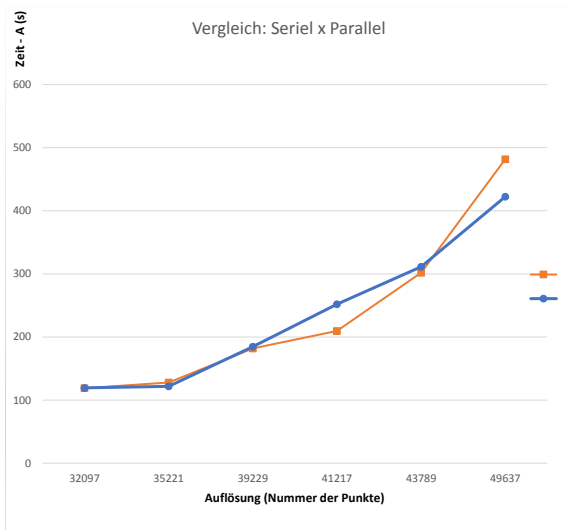
- Paralleler Code

```

47  #A Assembly alternative
48  #@parallel
49  @time @distributed for i in 1:size(msh.elements,1)  # @distributed macro to parallelise
50      A[collect(msh.elements[i]),collect(msh.elements[i])] += stima(msh,msh.elements[i])
51  end

```

- Vergleich von der Zeit:



- Vergleich von der Zeit:

## Seriel

Mesh Size	Zeit - A (s)	Gesamte Zeit (s)
32097	118,938688	150,315614
35221	128,04001	161,83766
39229	182,043374	213,222984
41217	209,478964	240,516532
43789	302,002495	378,614366
49637	481,744498	569,334007

## Parallel

Mesh Size	Zeit - A (s)	Gesamte Zeit (s)
32097	119,396473	151,773994
35221	121,806232	155,603882
39229	184,730799	215,910409
41217	251,858964	282,9
43789	311,288495	387,902476
49637	422,394498	509,980535

- Out of Memory ab 50.000 Gitterpunkten
- Andere Vorgehensweise wäre hier mit Parallelismus möglich

- Vergleich von der Zeit (unterschiedliche Simulationszeit bei Wiederholung):

```
Info : 5201 vertices 10409 elements
Info : Writing 'nice_mesh_v3.msh'...
Info : Done writing 'nice_mesh_v3.msh'
6.039364 seconds (7.60 M allocations: 4.507 GiB, 12.44% gc time)
1.927692 seconds (4.60 M allocations: 226.599 MiB, 6.54% gc time)
4.972373 seconds (5.15 M allocations: 256.448 MiB, 2.61% gc time)
28.767019 seconds (62.22 M allocations: 7.366 GiB, 8.85% gc time)
```

```
Info : 5201 vertices 10409 elements
Info : Writing 'nice_mesh_v3.msh'...
Info : Done writing 'nice_mesh_v3.msh'
5.403396 seconds (7.36 M allocations: 4.494 GiB, 11.95% gc time)
1.761284 seconds (4.38 M allocations: 214.800 MiB, 5.56% gc time)
2.280496 seconds (4.32 M allocations: 215.104 MiB, 4.62% gc time)
12.022765 seconds (20.15 M allocations: 5.317 GiB, 7.99% gc time)
```



## ① Stand Zwischenvortrag

## ② Modifiziertes Problem & Programmaufbau

Problemstellung

Programmaufbau

Rechengitter

Randbedingungen

Netzstruktur

Systemerzeugung

Lösung und Konvergenzstudie

## ③ Besonderheiten der Implementierung

Typisierung

Paralleles Rechnen

## ④ Fazit & Ausblick

## Zusammenfassung

- komplizierteres RWP ✓
- Kopplung von Julia und Gmsh über Gmsh API ✓
- Definition eines Element- & Mesh-Typs in Julia ✓
- paralleles Berechnen der Steifigkeitsmatrix ✓
- Versionierungssystem Git: ✓  
→ [Git Repository](#)

## Ausblick

- Grad der Parallelisierung erhöhen
- Ansatzfunktionen als Polynome höherer Ordnung ( $> 1$ )
- 3D-Problemstellungen

Vielen Dank für Ihre Aufmerksamkeit!

- [1] BEZANSON, J. ; EDELMAN, A. ; KARPINSKI, S. ; SHAH, V.: Julia: A Fresh Approach to Numerical Computing. In: SIAM Review 59 (2017), Nr. 1, 65-98.  
<http://dx.doi.org/10.1137/141000671>. – DOI 10.1137/141000671
- [2] CHRISTOPHE GEUZAINÉ, Jean-François R.: Gmsh. <http://gmsh.info/>
- [3] DANIELE BOFFI, Michel F. Franco Brezzi B. Franco Brezzi: Mixed Finite Element Methods and Applications. Springer, 2013
- [4] GEUZAINÉ, Christophe ; REMACLE, Jean-François: Gmsh: A 3-D finite element mesh generator with built-in pre- and post-processing facilities. In: International Journal for Numerical Methods in Engineering 79 (2009), Nr. 11, S. 1309–1331.  
<http://dx.doi.org/10.1002/nme.2579>. – DOI 10.1002/nme.2579
- [5] LANGUAGE, The J.: Parallel Computing. <https://docs.julialang.org/en/v1/manual/parallel-computing/#Parallel-Computing-1>
- [6] SCHMIDT, Kersten: Numerics of Partial Differential Equations. TU Berlin, 2015
- [7] SEBASTIAN SCHÖPS, Herbert De G.: PASIROM - Summer School. TU Darmstadt, 2018

## E-Statik: Differentialgleichung

- FARADAY'sches Induktionsgesetz im statischen Limit:

$$\text{rot } \mathbf{E} \equiv 0$$

- elektrisches Feld  $\mathbf{E}$  als Gradientenfeld vom Skalarpotential  $\phi$ :

$$\mathbf{E} = -\text{grad } \phi$$

- lin., homog., isot., ladungsf. Material  $\Rightarrow$  LAPLACE-Gleichung:

$$\text{div grad } \phi = \Delta \phi = 0$$

## Finite Elemente Methode (FEM): Hauptideen [3]

- Diskretisierung von  $\Omega$  in *einfache* Sub-Domänen (Dreiecke)
- Approximation des Funktionenraums der Lösung  $\phi$  [7]:

$\phi \in H^1(\Omega) : (\text{SOBOLEV-Raum 2-fach integrierbarer Funktionen}),$

$$H^1(\Omega) := \left\{ u \in L_2(\Omega) \mid \mathbf{grad} (u) \in L_2(\Omega)^3 \right\}$$

- (Knoten)-Ansatzfunktionen mit **finiter** Basis & *Support*: oft Polynome niedriger Ordnung, müssen Differentiationsklasse von  $\phi$  genügen

$$\text{LGS} \Leftarrow \begin{cases} \text{variationelle Formulierung des RWP} \\ \text{RITZ-GALERKIN-Methode} \\ \dots \end{cases}$$

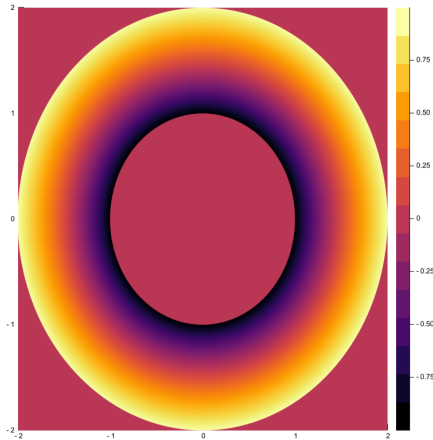


Abbildung: Analytische Lösung  $\phi$

## Analytische Lösung $\phi$

- $\phi(x, y) := A_1 + A_2 \ln(\varrho)$
- $A_1 := \frac{\phi_+ - \phi_-}{\ln(\frac{r_2}{r_1})}$
- $A_2 := \phi_- - A_1 \ln(r_1)$